

# АСИМПТОТИКА $\beta$ -ФУНКЦИИ В ТЕОРИИ $\varphi^4$ : СХЕМА БЕЗ КОМПЛЕКСНЫХ ПАРАМЕТРОВ

*И. М. Суслов\**

*Институт физических проблем им. П. Л. Капицы Российской академии наук  
119334, Москва, Россия*

Поступила в редакцию 3 марта 2010 г.

Полученные ранее аналитические асимптотики при  $g \rightarrow \infty$  для функции Гелл-Манна–Лоу  $\beta(g)$  и аномальных размерностей в теории  $\varphi^4$  основаны на параметрическом представлении типа  $g = f(t)$ ,  $\beta(g) = f_1(t)$  (где  $t \propto g_0^{-1/2}$  — бегущий параметр, связанный с затравочным зарядом  $g_0$ ), которое упрощается в комплексной плоскости  $t$  вблизи нуля одного из функциональных интегралов. Ниже показано, что параметрическое представление имеет сингулярность при  $t \rightarrow 0$ , что позволяет получить аналогичные результаты при действительных значениях  $g_0$ . Одновременно решается вопрос о правильном характере предельного перехода к режиму сильной связи; в частности, постоянство затравочной или перенормированной массы не является правильным условием предельного перехода. Дано частичное доказательство «теоремы о перенормируемости» для области сильной связи.

## 1. ВВЕДЕНИЕ

В недавних работах автора [1, 2] показано, что асимптотика функции Гелл-Манна–Лоу  $\beta(g)$  при  $g \rightarrow \infty$  для актуальных теорий поля может быть найдена аналитически. Выражение  $\beta$ -функции через функциональные интегралы приводит к параметрическому представлению

$$g = f(t), \quad \beta(g) = f_1(t), \quad (1)$$

где  $t$  — бегущий параметр, связанный с затравочным зарядом  $g_0$  соотношением  $t \propto g_0^{-1/2}$ . Исследование (1) показывает, что бесконечные значения  $g$  связаны с обращением в нуль одного из функциональных интегралов; вблизи его корня выражение (1) сильно упрощаются и параметрическое представление разрешается в явном виде. Асимптотика  $\beta$ -функции в теории  $\varphi^4$  [1] и КЭД [2] оказывается линейной, а аномальные размерности стремятся к постоянным пределам.

Обращение в нуль функциональных интегралов можно гарантировать при комплексных значениях  $t$ , соответствующих комплексным  $g_0$ . В связи с этим возникают вопросы об эрмитовости исходного гамильтониана, унитарности  $S$ -матрицы и т. д. На наш

взгляд, здесь нет предмета для беспокойства: соотношения (1) выводятся для действительных  $g_0$  (что обеспечивает правильную теорию возмущений), а затем аналитически продолжаются в комплексную плоскость. В силу перенормируемости теории затравочный заряд  $g_0$  исключается из всех наблюдаемых величин и его комплексность при больших  $g$  не имеет значения: затравочная теория связана с искусственными конструкциями (типа вспомогательной решетки) и не имеет физического смысла.

Однако в научном сообществе имеется предубеждение против комплексных затравочных параметров, связанное с давней дискуссией по поводу модели Ли [3], в которой участвовали Паули, Гейзенберг и др. После работы [4] модель Ли была признана физически неудовлетворительной из-за существования состояний с отрицательной нормой («ghost states»). В недавних работах Бендера и др. [5, 6] показано, что модель Ли является вполне приемлемой физической теорией, но устаревшая точка зрения успела войти во многие учебники [7, 8]. Фактически же проблема комплексных затравочных параметров полностью решается в боголюбовской аксиоматической конструкции  $S$ -матрицы [9] (см. подробнее разд. 8).

Более существенный вопрос связан с приложениями теории  $\varphi^4$  в физике конденсированного состояния; здесь решеточный затравочный гамильтониан имеет физический смысл и его параметры конечно

---

\*E-mail: suslov@kapitza.ras.ru

не могут быть комплексными. Поэтому режим сильной связи выглядит недостижимым, а найденные в работе [1] асимптотики ренормгрупповых функций — не имеющими физического смысла<sup>1)</sup>.

Ниже показано, что при решеточной интерпретации функциональных интегралов параметрическое представление (1) имеет сингулярность в точке  $t = 0$ , которая обеспечивает режим сильной связи  $g \rightarrow \infty$  (разд. 2, 3). Такая возможность выглядит более удовлетворительной с точки зрения физической интуиции, так как затравочный заряд  $g_0$  стремится к бесконечности, а не к особой точке в комплексной плоскости; это решает вопрос о физической реализуемости режима сильной связи в физике конденсированного состояния. Асимптотика  $\beta$ -функции совпадает с полученной в работе [1], тогда как результаты для аномальных размерностей несколько различаются (разд. 4); однако это различие не имеет физического смысла (разд. 7). Исследование топологии траекторий в плоскости  $t$  (разд. 5) показывает, что в зависимости от выбора решетки они могут оставаться на действительной оси или уходить в комплексную плоскость. С теоретико-полевой точки зрения вопрос о действительности или комплексности затравочных параметров всецело связан с выбором ренормировочной схемы [11] и не имеет физического смысла. Для схемы, наиболее употребительной в теории фазовых переходов [12], выход в комплексную плоскость является неизбежным, а условность использования комплексных затравочных параметров — особенно очевидной (разд. 6).

Решеточные разложения, изучаемые в разд. 3, аналогичны высокотемпературным рядам в теории фазовых переходов [13]. В теоретико-полевом контексте они рассматривались в работах [14–17] и др.; при этом основное внимание уделялось исследованию связи перенормированных величин с затравочными, что требовало знания большого числа членов разложения и использования приближенных экстраполяционных методик. Однако физический интерес представляют соотношения перенормированных величин между собой (в соответствии с общей философией перенормируемости), которые оказываются более простыми (разд. 4). Кроме того, оставался нерешенным вопрос о правильном характере предельного перехода к режиму сильной связи; в частности, ни постоянство затравочной массы, ни по-

<sup>1)</sup> Фактически они представляют интерес даже в этом случае, значительно упрощая процедуру суммирования расходящихся рядов, которая проводится при вычислении критических индексов (см. обсуждение в [10]).

стоянство перенормированной массы [15] не являются правильными условиями предельного перехода (разд. 4). Заметим, что указание на линейную асимптотику  $\beta$ -функции было получено еще в работе [16]; совсем недавно обнаружено, что линейная асимптотика согласуется с частным решением уравнений Дайсона–Швингера [18].

## 2. ПРЕДВАРИТЕЛЬНЫЕ СООБРАЖЕНИЯ

Рассмотрим  $n$ -компонентную теорию  $\varphi^4$  с действием

$$S\{\varphi\} = \int d^d x \left\{ \frac{1}{2} \sum_{\alpha=1}^n (\nabla \varphi_\alpha)^2 + \right. \\ \left. + \frac{1}{2} m_0^2 \sum_{\alpha=1}^n \varphi_\alpha^2 + \frac{1}{4} u_0 \left( \sum_{\alpha=1}^n \varphi_\alpha^2 \right)^2 \right\}, \quad (2)$$

$$u_0 = g_0 \Lambda^\epsilon, \quad \epsilon = 4 - d,$$

где  $g_0$  и  $m_0$  — затравочные заряд и масса,  $d$  — размерность пространства<sup>2)</sup>,  $\Lambda$  — параметр обрезания по импульсу. Наиболее общий функциональный интеграл этой теории содержит в предэкспоненте  $M$  множителей поля  $\varphi$ ,

$$Z_{\alpha_1 \dots \alpha_M}^{(M)}(x_1, \dots, x_M) = \int D\varphi \varphi_{\alpha_1}(x_1) \varphi_{\alpha_2}(x_2) \dots \\ \dots \varphi_{\alpha_M}(x_M) \exp(-S\{\varphi\}), \quad (3)$$

и будет обозначаться как  $K_M\{p_i\}$  после перехода в импульсное представление и выделения  $\delta$ -образных множителей,

$$Z_{\alpha_1 \dots \alpha_M}^{(M)}(p_1, \dots, p_M) = \\ = K_M\{p_i\} \mathcal{N} \delta_{p_1 + \dots + p_M} I_{\alpha_1 \dots \alpha_M}, \quad (4)$$

где  $I_{\alpha_1 \dots \alpha_M}$  — сумма членов типа  $\delta_{\alpha_1 \alpha_2} \delta_{\alpha_3 \alpha_4} \dots$  со всевозможными спариваниями,  $\mathcal{N}$  — число узлов решетки, на которой предполагается определенным функциональный интеграл. Интегралы  $K_M\{p_i\}$ , как правило, оцениваются при нулевых импульсах и лишь один интеграл  $K_2(p)$  потребуется при малых  $p$ ,

$$K_2(p) = K_2 - \tilde{K}_2 p^2 + \dots \quad (5)$$

Вводя вершины  $\Gamma^{(L,N)}$  с  $N$  внешними линиями поля  $\varphi$  и  $L$  внешними линиями взаимодействия<sup>3)</sup>, учитывая их мультиплекативную перенормируемость [20]

<sup>2)</sup> Предполагается условие  $d \leq 4$ , при котором теория  $\varphi^4$  является перенормируемой; параметр  $\epsilon$  не считается малым, если это не оговорено особо.

<sup>3)</sup> Имеется в виду диаграммная техника, в которой взаимодействие обозначается пунктирными линиями [19].

$$\Gamma^{(L,N)}(p_i; g_0, m_0, \Lambda) = Z^{-N/2} \left(\frac{Z_2}{Z}\right)^{-L} \Gamma_R^{(L,N)}(p_i; g, m) \quad (6)$$

( $g$  и  $m$  — перенормированные заряд и масса) и используя условия ренормировки на нулевых импульсах

$$\begin{aligned} \Gamma_R^{(0,2)}(p; g, m) \Big|_{p \rightarrow 0} &= m^2 + p^2 + O(p^4), \\ \Gamma_R^{(0,4)}(p_i; g, m) \Big|_{p_i=0} &= gm^\epsilon, \\ \Gamma_R^{(1,2)}(p_i; g, m) \Big|_{p_i=0} &= 1, \end{aligned} \quad (7)$$

можно определить функцию Гелл-Манна–Лоу  $\beta(g)$  и аномальные размерности  $\eta(g)$ ,  $\eta_2(g)$ :

$$\begin{aligned} \beta(g) &= \frac{dg}{d \ln m} \Big|_{g_0, \Lambda=\text{const}}, \\ \eta(g) &= \frac{d \ln Z}{d \ln m} \Big|_{g_0, \Lambda=\text{const}}, \\ \eta_2(g) &= \frac{d \ln Z_2}{d \ln m} \Big|_{g_0, \Lambda=\text{const}}. \end{aligned} \quad (8)$$

Выражая эти функции через функциональные интегралы, для них можно получить параметрическое представление [1]<sup>4)</sup>

$$g = - \left( \frac{K_2}{\tilde{K}_2} \right)^{d/2} \frac{K_4 K_0}{K_2^2}, \quad (9)$$

$$\begin{aligned} \beta(g) &= - \left( \frac{K_2}{\tilde{K}_2} \right)^{d/2} \frac{K_4 K_0}{K_2^2} \times \\ &\times \left\{ d + 2 \frac{K'_4/K_4 + K'_0/K_0 - 2K'_2/K_2}{K'_2/K_2 - \tilde{K}'_2/\tilde{K}_2} \right\}, \end{aligned} \quad (10)$$

$$\eta(g) = - \frac{2K_2 \tilde{K}_2}{K_2 \tilde{K}'_2 - K'_2 \tilde{K}_2} \left[ 2 \frac{K'_2}{K_2} - \frac{K'_0}{K_0} - \frac{\tilde{K}'_2}{\tilde{K}_2} \right], \quad (11)$$

$$\begin{aligned} \eta_2(g) &= \frac{2K_2 \tilde{K}_2}{K_2 \tilde{K}'_2 - K'_2 \tilde{K}_2} \times \\ &\times \left\{ \frac{K''_0 K_2 - K_0 K''_2}{K'_0 K_2 - K_0 K'_2} - 2 \frac{K'_2}{K_2} \right\}, \end{aligned} \quad (12)$$

<sup>4)</sup> Выражение для  $\eta_2(g)$  написано в работе [1] неправильно из-за того, что в тождестве Уорда (55) предполагается другое определение массы; его правильная запись  $Z_2^{-1} = \Gamma_{12}(0) = d\Gamma_2(0)/dm_0^2 = (K_0/K_2)'$ . В результате в формулах (61) и (62) работы [1] получим соответственно  $\eta_2(g) = 0$  и  $\eta_2(g) = 4$ .

где штрихами отмечаются производные по  $m_0^2$ . Правые части (9)–(12) зависят от трех параметров  $g_0$ ,  $m_0$  и  $\Lambda$ , один из которых можно принять в качестве бегущего; если выразить его через  $g$  с помощью соотношения (9) и исключить из (10)–(12), то зависимость от остальных двух параметров исчезает согласно общим теоремам [20].

Согласно формуле (9), большие значения  $g$  могут быть достигнуты вблизи корней  $K_2$  или  $\tilde{K}_2$ . При  $\tilde{K}_2 \rightarrow 0$  правые части (10)–(12) сильно упрощаются и параметрическое представление разрешается в виде [1]

$$\beta(g) = dg, \quad \eta(g) = 2, \quad \eta_2(g) = 0 \quad (g \rightarrow \infty). \quad (13)$$

Аналогичные результаты получаются при  $K_2 \rightarrow 0$ , но этот предел мы считаем нефизическим, так как он не обеспечивает непрерывного перехода к четырехмерному случаю ввиду отсутствия расходимости в уравнении (9) при  $d = 4$ .

Связь предела сильной связи  $g \rightarrow \infty$  с нулем одного из функциональных интегралов установлена в работе [1] из аналогии с нуль-мерным случаем. Фактически это может быть сделано более строго. Продводя дискретизацию пространства, запишем уравнение (2) в виде решеточной суммы

$$\begin{aligned} S\{\varphi\} &= \frac{1}{2} a^d \sum_{\mathbf{x}, \mathbf{x}'} J_{\mathbf{x}-\mathbf{x}'} \varphi_{\mathbf{x}} \varphi_{\mathbf{x}'} + \\ &+ \frac{1}{2} m_0^2 a^d \sum_{\mathbf{x}} \varphi_{\mathbf{x}}^2 + \frac{1}{4} g_0 a^{2d-4} \sum_{\mathbf{x}} \varphi_{\mathbf{x}}^4, \end{aligned} \quad (14)$$

где мы ограничились случаем  $n = 1$  и приняли  $\Lambda = a^{-1}$  ( $a$  — постоянная решетки). Делая замену

$$\varphi \longrightarrow \varphi (g_0 a^{2d-4}/4)^{-1/4} \quad (15)$$

и вводя параметр

$$t = (1/g_0)^{1/2}, \quad (16)$$

получим функциональный интеграл (3) в виде

$$\begin{aligned} Z^{(M)}\{\mathbf{x}_i\} &= (2t)^{\frac{N+M}{2}} \int \left( \prod_{\mathbf{x}} d\varphi_{\mathbf{x}} \right) \varphi_{\mathbf{x}_1} \dots \varphi_{\mathbf{x}_M} \times \\ &\times \exp \left\{ -t \sum_{\mathbf{x}, \mathbf{x}'} J_{\mathbf{x}-\mathbf{x}'} \varphi_{\mathbf{x}} \varphi_{\mathbf{x}'} - \right. \\ &\left. - tm_0^2 \sum_{\mathbf{x}} \varphi_{\mathbf{x}}^2 - \sum_{\mathbf{x}} \varphi_{\mathbf{x}}^4 \right\}. \end{aligned} \quad (17)$$

Здесь и в дальнейшем принимаем  $a = 1$ , измеряя  $J_{\mathbf{x}-\mathbf{x}'}$  и  $m_0^2$  в единицах  $\Lambda^2$ . При конечном числе интегрирований  $\mathcal{N}$  интеграл сходится для всех  $t$  и оказывается регулярным во всей конечной части комплексной плоскости  $t$ . Сингулярности могут возникать лишь в пределе  $\mathcal{N} \rightarrow \infty$ , но это происходит лишь в точках фазовых переходов, когда  $m^2 = 0$  и корреляционный радиус  $\xi$  бесконечен; в этом случае реально необходим предельный переход к бесконечному объему системы, который оказывается сингулярным. Если же  $m^2 \neq 0$ , то ввиду конечности корреляционного радиуса  $\xi$  размер системы  $\mathcal{L}$  может быть выбран большим, но конечным: при выполнении условия

$$\mathcal{L} \gg \xi \gg a \quad (18)$$

функциональный интеграл хорошо аппроксимируется своим конечномерным аналогом. В рассматриваемом случае величина  $m^2$  заведомо конечна (фактически  $m^2 \rightarrow \infty$  при  $g \rightarrow \infty$ ) и перехода к пределу  $\mathcal{N} \rightarrow \infty$  не требуется. Поэтому интегралы  $K_M$  и их производные регулярны в комплексной плоскости  $t$  и появление бесконечностей в правых частях (9)–(12) может быть связано только с нулями знаменателей; в частности, в формуле (9) они возникают лишь вблизи корня  $K_2$  или  $\tilde{K}_2$ . Параметр  $t$  в дальнейшем считаем бегущим параметром параметрического представления.

При переходе от формулы (2) к уравнению (14) мы исходили из соответствия

$$\begin{aligned} -\varphi(x)\nabla^2\varphi(x) &= \varphi(x)\hat{p}^2\varphi(x) \rightarrow \varphi_{\mathbf{x}}\epsilon(\hat{p})\varphi_{\mathbf{x}} = \\ &= \sum_{\mathbf{x}'} J_{\mathbf{x}-\mathbf{x}'}\varphi_{\mathbf{x}}\varphi_{\mathbf{x}'}, \end{aligned} \quad (19)$$

где  $\hat{p}$  — оператор импульса,  $\epsilon(p)$  — затравочный спектр,

$$\epsilon(p) = \sum_{\mathbf{x}} J_{\mathbf{x}} e^{i\mathbf{p}\cdot\mathbf{x}} = \epsilon(0) + p^2 + O(p^4), \quad (20)$$

и учтено, что  $\exp\{i\hat{\mathbf{p}} \cdot \mathbf{x}\}$  есть оператор сдвига на вектор  $\mathbf{x}$ . Интегралы перекрытия  $J_{\mathbf{x}}$  предполагаются быстро убывающими с ростом  $|\mathbf{x}|$ , так что спектр (20) является регулярным; считаем  $J_0 = 0$ , а коэффициент при  $p^2$  принимаем равным единице для соответствия с континуальным пределом (см. (19)), учитывая, что  $\epsilon(0)$  можно включить в перенормировку  $m_0^2$ .

Ниже исследуется сингулярность параметрического представления (9)–(12) при  $t \rightarrow 0$ , которая имеет простое происхождение. При  $g_0 \gg 1$  в (17) возможно разложение по градиентному члену  $tJ_{\mathbf{x}-\mathbf{x}'}\varphi_{\mathbf{x}}\varphi_{\mathbf{x}'}$ . В нулевом порядке по  $t$  интеграл  $Z^{(2)}$   $\delta$ -образен в координатном представлении,

$Z^{(2)}(\mathbf{x}, \mathbf{x}') \sim \delta_{\mathbf{xx}'}$ , и его фурье-образ не имеет импульсной зависимости; последняя появляется лишь в первом порядке по  $t$ . Поэтому в разложении (5) интеграл  $\tilde{K}_2$  имеет дополнительную малость по сравнению с  $K_2$ , т. е.  $K_2/\tilde{K}_2 \sim 1/t$ , что приводит к сингулярности в формулах (9), (10). Эта сингулярность оказывается более сложной, чем вблизи корня  $\tilde{K}_2$  в комплексной плоскости, когда остальные интегралы и их производные остаются конечными [1]. При  $t \rightarrow 0$  интеграл  $K_M$  имеет дополнительный множитель, пропорциональный  $t^{M/2}$ , по сравнению с  $K_0$  (см. (17)), а дифференцирование по  $m_0^2$  дает множитель  $t$ , поэтому сингулярность в уравнениях (9)–(12) требует аккуратного исследования.

### 3. РЕШЕТОЧНЫЕ РАЗЛОЖЕНИЯ

При разложении функционального интеграла (17) по градиентному члену  $tJ_{\mathbf{x}-\mathbf{x}'}\varphi_{\mathbf{x}}\varphi_{\mathbf{x}'}$  возникают средние от произведения полей  $\varphi_{\mathbf{x}_1}\varphi_{\mathbf{x}_2} \dots$  по распределению<sup>5)</sup>

$$P\{\varphi\} \sim \prod_{\mathbf{x}} \exp\{-tm_0^2\varphi_{\mathbf{x}}^2 - \varphi_{\mathbf{x}}^4\}. \quad (21)$$

Такие средние отличны от нуля лишь при частично (или полностью) совпадающих координатах и расписываются по схеме

$$\begin{aligned} \langle \varphi_{\mathbf{x}_1}\varphi_{\mathbf{x}_2}\varphi_{\mathbf{x}_3}\varphi_{\mathbf{x}_4} \rangle &= \langle \varphi_{\mathbf{x}_1}^2 \rangle \langle \varphi_{\mathbf{x}_3}^2 \rangle \delta_{\mathbf{x}_1\mathbf{x}_2} \delta_{\mathbf{x}_3\mathbf{x}_4} (1 - \delta_{\mathbf{x}_1\mathbf{x}_3}) + \\ &+ \langle \varphi_{\mathbf{x}_1}^2 \rangle \langle \varphi_{\mathbf{x}_2}^2 \rangle \delta_{\mathbf{x}_1\mathbf{x}_3} \delta_{\mathbf{x}_2\mathbf{x}_4} (1 - \delta_{\mathbf{x}_1\mathbf{x}_2}) + \\ &+ \langle \varphi_{\mathbf{x}_1}^2 \rangle \langle \varphi_{\mathbf{x}_2}^2 \rangle \delta_{\mathbf{x}_1\mathbf{x}_4} \delta_{\mathbf{x}_2\mathbf{x}_3} (1 - \delta_{\mathbf{x}_1\mathbf{x}_2}) + \\ &+ \langle \varphi_{\mathbf{x}_1}^4 \rangle \delta_{\mathbf{x}_1\mathbf{x}_2} \delta_{\mathbf{x}_1\mathbf{x}_3} \delta_{\mathbf{x}_1\mathbf{x}_4} = \\ &= \langle \varphi^2 \rangle \langle \varphi^2 \rangle (\delta_{\mathbf{x}_1\mathbf{x}_2} \delta_{\mathbf{x}_3\mathbf{x}_4} + \delta_{\mathbf{x}_1\mathbf{x}_3} \delta_{\mathbf{x}_2\mathbf{x}_4} + \delta_{\mathbf{x}_1\mathbf{x}_4} \delta_{\mathbf{x}_2\mathbf{x}_3}) + \\ &+ [\langle \varphi^4 \rangle - 3\langle \varphi^2 \rangle \langle \varphi^2 \rangle] \delta_{\mathbf{x}_1\mathbf{x}_2} \delta_{\mathbf{x}_1\mathbf{x}_3} \delta_{\mathbf{x}_1\mathbf{x}_4}, \end{aligned} \quad (22)$$

где средние  $\langle \varphi^{2k} \rangle$  определяются формулой

$$\begin{aligned} \langle \varphi^{2k} \rangle &= \frac{I_{2k}}{I_0}, \\ I_{2k} &= \int_{-\infty}^{\infty} d\varphi \varphi^{2k} \exp\{-tm_0^2\varphi^2 - \varphi^4\}. \end{aligned} \quad (23)$$

Следуя этой схеме, нетрудно получить

$$Z^{(0)} = (2t)^{\mathcal{N}/2} I_0^{\mathcal{N}} \left[ 1 - t\mathcal{N} \frac{I_2}{I_0} J_0 + \dots \right],$$

<sup>5)</sup> По техническим причинам член  $\sim tm_0^2$  удобно сохранять в экспоненте. Фактически это не является превышением точности, так как  $m_0$  является независимым параметром и  $tm_0^2$  может быть не малым при  $t \ll 1$ ; сохранение члена  $\sim tm_0^2$  в экспоненте расширяет область применимости разложений, что окажется существенным в дальнейшем (разд. 4).

$$Z^{(2)}(\mathbf{x}_1 \mathbf{x}_2) = (2t)^{\mathcal{N}/2} I_0^{\mathcal{N}} \cdot 2t \times \\ \times \left\{ \frac{I_2}{I_0} \delta_{\mathbf{x}_1 \mathbf{x}_2} - 2t \frac{I_2^2}{I_0^2} J_{\mathbf{x}_1 - \mathbf{x}_2} + \dots \right\}, \quad (24)$$

$$Z^{(4)}(\mathbf{x}_1 \dots \mathbf{x}_4) = (2t)^{\mathcal{N}/2} I_0^{\mathcal{N}} \cdot (2t)^2 \times \\ \times \left\{ \frac{I_2^2}{I_0^2} (\delta_{\mathbf{x}_1 \mathbf{x}_2} \delta_{\mathbf{x}_3 \mathbf{x}_4} + \delta_{\mathbf{x}_1 \mathbf{x}_3} \delta_{\mathbf{x}_2 \mathbf{x}_4} + \delta_{\mathbf{x}_1 \mathbf{x}_4} \delta_{\mathbf{x}_2 \mathbf{x}_3}) + \right. \\ \left. + \left( \frac{I_4}{I_0} - 3 \frac{I_2^2}{I_0^2} \right) \delta_{\mathbf{x}_1 \mathbf{x}_2} \delta_{\mathbf{x}_1 \mathbf{x}_3} \delta_{\mathbf{x}_1 \mathbf{x}_4} + \dots \right\}.$$

Поправочный член  $\sim \mathcal{N}t$  к  $Z^{(0)}$  исчезает в силу принятого соглашения  $J_0 = 0$ . В общем случае члены, содержащие  $\mathcal{N}$ , формально возникают при разложении, но соответствуют «несвязным диаграммам», когда множители  $\varphi_{\mathbf{x}}$ , возникающие от разложения экспоненты в выражении (17), усредняются независимо от множителей  $\varphi_{\mathbf{x}_1} \dots \varphi_{\mathbf{x}_M}$ , стоящих в предэкспоненте. Легко понять, что вклад несвязных диаграмм факторизуется во всех  $Z^{(M)}$  в виде одинакового множителя и сокращается при переходе к отношениям функциональных интегралов. Поэтому разложения типа (24) справедливы при  $t \ll 1$ , а не при более сильном условии  $\mathcal{N}t \ll 1$ .

Переходя в импульсное представление и вводя обозначения  $K_M$  согласно формуле (4), получим

$$K_0 = (2t)^{\mathcal{N}/2} I_0^{\mathcal{N}}, \\ K_2(p) = (2t)^{\mathcal{N}/2} I_0^{\mathcal{N}} \cdot 2t \left\{ \frac{I_2}{I_0} - 2t \frac{I_2^2}{I_0^2} \epsilon(p) \right\}, \\ K_4\{p_i\} = (2t)^{\mathcal{N}/2} I_0^{\mathcal{N}} \cdot (2t)^2 \frac{1}{3} \left\{ \left( \frac{I_4}{I_0} - 3 \frac{I_2^2}{I_0^2} \right) + \right. \\ \left. + \frac{I_2^2}{I_0^2} \mathcal{N} (\delta_{p_1+p_2} + \delta_{p_1+p_3} + \delta_{p_1+p_4}) \right\}. \quad (25)$$

Предел  $p_i \rightarrow 0$  в  $K_4\{p_i\}$  берется в соответствии с принятым в работе [1] соглашением: полагая  $p_i \sim \mu$  так, чтобы исключить специальные равенства типа  $p_1 + p_2 = 0$ , и устремляя  $\mu$  к нулю. Используя разложение для  $\epsilon(p)$  (20) и учитывая определение (5) для  $K_2$  и  $\tilde{K}_2$ , имеем

$$\frac{K_2}{K_0} = 2t \frac{I_2}{I_0}, \quad \frac{\tilde{K}_2}{K_0} = (2t)^2 \frac{I_2^2}{I_0^2}, \\ \frac{K_4}{K_0} = (2t)^2 \left( \frac{I_4}{3I_0} - \frac{I_2^2}{I_0^2} \right). \quad (26)$$

Аналогичные вычисления в  $n$ -компонентном случае дают

$$\frac{K_2}{K_0} = 2t \frac{I_2}{nI_0}, \quad \frac{\tilde{K}_2}{K_0} = (2t)^2 \frac{I_2^2}{nI_0^2}, \\ \frac{K_4}{K_0} = (2t)^2 \frac{1}{n^2} \left( \frac{n}{n+2} \frac{I_4}{I_0} - \frac{I_2^2}{I_0^2} \right), \quad (27)$$

где интегралы  $I_{2k}$  определяются как

$$I_{2k} = \int_0^\infty d\varphi \varphi^{n-1+2k} \exp \{-tm_0^2 \varphi^2 - \varphi^4\}. \quad (28)$$

Переписывая (10)–(12) в виде

$$\beta(g) = - \left( \frac{K_2}{\tilde{K}_2} \right)^{d/2} \frac{K_4 K_0}{\tilde{K}_2^2} \left\{ d + 2 \frac{(\ln K_4 K_0 / \tilde{K}_2^2)'}{(\ln K_2 / \tilde{K}_2)'} \right\}, \\ \eta(g) = 2 \frac{(\ln K_2 / K_0)' + (\ln K_2 / \tilde{K}_2)'}{(\ln K_2 / \tilde{K}_2)' (\ln K_0 / K_2)'}, \quad (29)$$

$$\eta_2(g) = -2 \frac{(\ln K_0 / K_2)'' + [(\ln K_0 / K_2)']^2}{(\ln K_2 / \tilde{K}_2)' (\ln K_0 / K_2)'}$$

и дифференцируя по  $m_0^2$  с учетом соотношения

$$I'_{2k} = -t I_{2k+2}, \quad (30)$$

получим

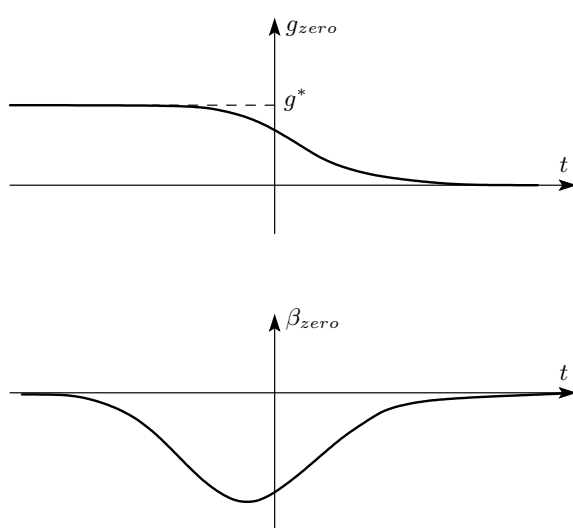
$$g = \left( \frac{n}{2t} \frac{I_0}{I_2} \right)^{d/2} \left( 1 - \frac{n}{n+2} \frac{I_4 I_0}{I_2^2} \right), \\ \frac{\beta(g)}{g} = d + 2 \frac{\frac{I_6 I_2}{I_0^2} - \frac{2 I_4^2}{I_0^2} + \frac{I_2^2 I_4}{I_0^3}}{\left( \frac{I_4}{I_0} - \frac{n+2}{n} \frac{I_2^2}{I_0^2} \right) \left( \frac{I_2^2}{I_0^2} - \frac{I_4}{I_0} \right)}, \quad (31) \\ \eta_2(g) = 2 \frac{\frac{I_6 I_2}{I_0^2} - \frac{2 I_4^2}{I_0^2} + \frac{I_2^2 I_4}{I_0^3}}{\left( \frac{I_2^2}{I_0^2} - \frac{I_4}{I_0} \right)^2}, \quad \eta(g) = 0.$$

Результаты можно представить в компактной форме, если ввести функции  $g_{zero}(t)$  и  $\beta_{zero}(t)$ , соответствующие нуль-мерному случаю [1], которые имеют вид, показанный на рис. 1:

$$g = \left( \frac{n}{2t} \frac{I_0}{I_2} \right)^{d/2} g_{zero}(tm_0^2), \\ \beta(g) = \left( \frac{n}{2t} \frac{I_0}{I_2} \right)^{d/2} [dg_{zero}(tm_0^2) + \beta_{zero}(tm_0^2)], \quad (32) \\ \eta_2(g) = \frac{\beta_{zero}(tm_0^2)}{g^* - g_{zero}(tm_0^2)}, \quad \eta(g) = 0,$$

где  $g^* = 2/(n+2)$ . Разрешая параметрическое представление в пределе  $t \rightarrow 0$ , получим асимптотики

$$\beta(g) = \left[ d + \frac{\beta_{zero}(0)}{g_{zero}(0)} \right] g, \\ \eta_2(g) = \frac{\beta_{zero}(0)}{g^* - g_{zero}(0)}, \quad \eta(g) = 0 \quad (g \rightarrow \infty), \quad (33)$$



**Рис. 1.** Качественное поведение функций  $g_{zero}(t)$  и  $\beta_{zero}(t)$ , соответствующих нуль-мерному случаю [1]

аналогичные формуле (13), т. е. реализуется линейное поведение для  $\beta$ -функции и выход на постоянные пределы для аномальных размерностей. Подстановка численных значений при  $n = 1$ ,  $d = 4$  дает  $\beta(g) = 2.29g$  в согласии с работой [16].

Результат (33) не является, однако, окончательным. Действительно, вместо предела  $t \rightarrow 0$  при постоянной затравочной массе можно рассмотреть предельный переход при условии  $tm_0^2 \rightarrow \text{const}$ ; при этом вся структура теории останется неизменной, но результат для асимптотики будет другой. Возникает вопрос о правильном характере предельного перехода, соответствующего режиму сильной связи.

#### 4. ИНТЕРПРЕТАЦИЯ ФУНКЦИОНАЛЬНЫХ ИНТЕГРАЛОВ

В рамках диаграммной техники связь перенормированной массы с затравочной определяется разложением

$$Z^{-1}m^2 = m_0^2 + u_0 \frac{n+2}{2} \int \frac{d^d k}{(2\pi)^d} \frac{1}{k^2 + m^2} + \dots, \quad (34)$$

где вклад  $N$ -го порядка по  $u_0$  имеет размерность по импульсу  $k^{2-\epsilon N}$  и при  $d > 2$  определяется верхним пределом, оказываясь порядка  $\Lambda^{2-\epsilon N}$ ; вспоминая соотношение  $u_0 = g_0 \Lambda^\epsilon$  (см. (2)), получим разложение вида

$$Z^{-1}m^2 = m_0^2 + \Lambda^2 (A_1 g_0 + A_2 g_0^2 + A_3 g_0^3 + \dots) + O(m^2 g_0 (\Lambda/m)^\epsilon). \quad (35)$$

Обычно полагают

$$m_0^2 = m_c^2 + \delta m_0^2, \quad (36)$$

где  $m_c^2$  определяется из условия  $m^2 = 0$  и при  $g_0 \ll \ll 1$  определяется первым членом разложения в (35),  $m_c^2 = -A_1 g_0 \Lambda^2$ . Поэтому переход к континуальному пределу  $\Lambda \rightarrow \infty$  нужно осуществлять при условии

$$m^2 = \text{const}, \quad -m_0^2 \sim g_0 \Lambda^2 \rightarrow \infty. \quad (37)$$

По аналогии, такое же условие стали принимать при исследовании предела сильной связи  $g_0 \rightarrow \infty$  [15, 21]; такой способ действий исходит из правильного интуитивного представления о том, что осуществлять предельный переход при  $m_0^2 = \text{const}$  «не очень хорошо», но имеет очевидные дефекты.

1) Проводится незаконная экстраполяция зависимости  $m_c^2 \propto g_0$  в область сильной связи.

2) Уравнение  $m^2 = 0$  в области сильной связи может вообще не иметь решений (см. ниже (39)), что делает бессмысленным разбиение (36).

3) Условие постоянства перенормированной массы не является физически мотивированным: если частицы имеют конечную массу  $m$  в области слабой связи, то при усилении взаимодействия она перенормируется и может как возрастать, так и убывать.

Дефектность такого образа действий обычно осознавалась авторами и предельный переход при условии (37) получил название «изинговского предела» [21]. Из сказанного ясно, что вопрос о правильном характере предельного перехода в область сильной связи фактически остается открытым.

В рамках параметрического представления (9)–(12) указанная проблема встает в несколько иной плоскости. Недостаток результатов типа (32) состоит в том, что правые части формул зависят от двух независимых параметров  $t$  и  $tm_0^2$ ; при исключении одного из них в пользу  $g$  остается зависимость от  $tm_0^2$ , которая должна отсутствовать согласно общим теоремам [20]. Возникает вопрос о разрешении этого противоречия<sup>6)</sup>.

В действительности, конечно, никакого противоречия нет, так как в общих теоремах предполагается

<sup>6)</sup> Для результата (32) зависимость от  $tm_0^2$  можно исключить, делая замену  $tm_0^2 \rightarrow t$  и переопределяя  $g$  и  $\beta(g)$  на одинаковый множитель. Однако это не решает проблему в общем случае: к уравнению (32) имеются регулярные поправки по  $t$ , содержащие в качестве коэффициентов функции от  $tm_0^2$ .

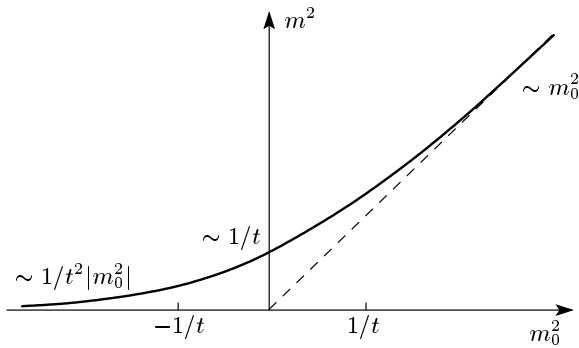


Рис. 2. Зависимость перенормированной массы от затравочной в области сильной связи

надлежащим образом проведенный переход к континуальному пределу  $\Lambda \rightarrow \infty$ . Физически это означает выполнение условия

$$m^2 \ll \Lambda^2, \quad (38)$$

которое эквивалентно условию  $\xi \gg a$  для корреляционного радиуса; при этом на характерном масштабе изменения поля имеется много узлов решетки и ее дальнейшее измельчение не имеет значения.

В рамках разложений разд. 3 для перенормированной массы справедлив результат (см. формулу (53) в [1])

$$m^2 = \frac{K_2}{\tilde{K}_2} = \frac{n}{2t} \frac{I_0}{I_2} = \\ = \begin{cases} m_0^2, & tm_0^2 \gg 1, \\ \sim 1/t, & |tm_0^2| \lesssim 1, \\ \sim 1/t^2|m_0^2|, & -tm_0^2 \gg 1, \end{cases} \quad (39)$$

(рис. 2), из которого ясно, что для выполнения условия  $m^2 \ll 1$  (соответствующего (38) в размерных единицах) необходимо принять, что

$$tm_0^2 = -\kappa, \quad \kappa \gg 1. \quad (40)$$

Заменой  $\varphi_{\mathbf{x}}^2 \rightarrow \kappa \varphi_{\mathbf{x}}^2 / 2$  экспонента в (17) преобразуется к виду

$$\exp \left\{ -\frac{1}{2} t \kappa \sum_{\mathbf{x}, \mathbf{x}'} J_{\mathbf{x}-\mathbf{x}'} \varphi_{\mathbf{x}} \varphi_{\mathbf{x}'} \right\} \times \\ \times \prod_{\mathbf{x}} \exp \left\{ \frac{1}{4} \kappa^2 (2\varphi_{\mathbf{x}}^2 - \varphi_{\mathbf{x}}^4) \right\}, \quad (41)$$

где последний множитель локализован вблизи  $\varphi_{\mathbf{x}}^2 = 1$  и может быть заменен на  $A \delta(\varphi_{\mathbf{x}}^2 - 1)$ ; значение константы  $A$  несущественно, так как она сокращается для отношения двух интегралов, и можно принять  $A = 1$ . В результате формула (17) преобразуется к виду

$$Z_M\{\mathbf{x}_i\} = (t \kappa)^{\frac{N+M}{2}} \int \left( \prod_{\mathbf{x}} d\varphi_{\mathbf{x}} \right) \varphi_{\mathbf{x}_1} \dots \varphi_{\mathbf{x}_M} \times \\ \times \exp \left\{ -\frac{1}{2} t \kappa \sum_{\mathbf{x}, \mathbf{x}'} J_{\mathbf{x}-\mathbf{x}'} \varphi_{\mathbf{x}} \varphi_{\mathbf{x}'} \right\} \prod_{\mathbf{x}} \delta(\varphi_{\mathbf{x}}^2 - 1) \quad (42)$$

и функциональный интеграл превращается в изинговскую сумму по значениям  $\varphi_{\mathbf{x}} = \pm 1$ . В  $n$ -компонентном случае возникает  $\delta$ -функция вида  $\delta(|\varphi_{\mathbf{x}}|^2 - 1)$ , фиксирующая значение модуля  $|\varphi_{\mathbf{x}}|^2 = \sum_{\alpha} \varphi_{\alpha, \mathbf{x}}^2$  и вместо модели Изинга получается  $\sigma$ -модель [28].

Теперь функциональные интегралы являются функциями одной переменной  $t \kappa$  и правые части (9)–(12) зависят только от нее; это определяет перенормгрупповые функции, зависящие только от  $g$ . При физической мотивации предельного перехода мы исходили из условий

$$t \ll 1, \quad \kappa \gg 1, \quad t \kappa \gg 1, \quad (43)$$

которые обеспечивали (38), но фактически при выводе выражения (42) использовались лишь два первых условия<sup>7)</sup>, т. е. оно справедливо при

$$t \ll 1, \quad \kappa \gg 1, \quad t \kappa \text{ — произвольно.} \quad (44)$$

Это позволяет использовать уравнение (42) в области  $t \kappa \ll 1$ , в которой возможны градиентные разложения и достигаются большие значения перенормированного заряда  $g$ . Учитывая формулы (39), (40), приходим к выводу, что режим сильной связи теории  $\varphi^4$  соответствует пределу

$$t \rightarrow 0, \quad tm_0^2 \rightarrow -\infty, \quad tm^2 \rightarrow 0, \quad m^2 \rightarrow \infty, \quad (45)$$

очевидным образом не совпадающему с формулой (37). Возвращаясь к параметрическому представлению (32) и полагая

$$-tm_0^2 = \kappa \gg 1, \quad (46)$$

получим

$$g = \left( \frac{n}{t \kappa} \right)^{d/2} g^*, \quad \beta(g) = \left( \frac{n}{t \kappa} \right)^{d/2} dg^*, \\ \eta_2(g) = \left. \frac{\beta_{zero}(-\kappa)}{g^* - g_{zero}(-\kappa)} \right|_{\kappa \rightarrow \infty} = -4, \quad (47)$$

<sup>7)</sup> Условие  $t \ll 1$  нужно для того чтобы флуктуации  $|\varphi_{\mathbf{x}}|^2$  в градиентном члене были несущественны.

что дает результаты для асимптотик

$$\beta(g) = dg, \quad \eta(g) = 0, \quad \eta_2(g) = -4 \quad (g \rightarrow \infty). \quad (48)$$

При оценке последнего предела в (47) учтено, что

$$\begin{aligned} g_{zero}(t) &= g^* - \frac{2n}{n+2} \frac{1}{t^2}, \\ \beta_{zero}(t) &= -\frac{8n}{n+2} \frac{1}{t^2}, \quad t \rightarrow \infty, \end{aligned} \quad (49)$$

где использованы определения  $\beta_{zero}(t)$ ,  $g_{zero}(t)$  и формулы (30) работы [1]. Любопытно, что результат для  $\beta(g)$  совпадает с формулой (13); различие результатов для  $\eta(g)$  и  $\eta_2(g)$  обсуждается в разд. 7.

Заметим, что представление (42) для функциональных интегралов можно использовать для вычисления не только ренормгрупповых функций, но и наблюдаемых величин. При этом последние получаются в виде

$$A_{obs} = \Lambda^{d_A} f_A(t\kappa), \quad (50)$$

где  $d_A$  — физическая размерность величины  $A_{obs}$ . Используя аналогичные выражения для  $g$  и  $m$ ,

$$g = f_g(t\kappa), \quad m^2 = \Lambda^2 f_m(t\kappa), \quad (51)$$

результат (50) можно представить в виде

$$A_{obs} = m^{d_A} F(g), \quad (52)$$

не содержащем затравочных параметров  $g_0$ ,  $m_0$ ,  $\Lambda$ , т. е. формула (52) выражает собой «теорему о перенормируемости» для области сильной связи<sup>8)</sup>. Подчеркнем, что мы не переходим к континуальному пределу в затравочной теории и сохраняем решетку как удобный вычислительный инструмент, исключая из физических результатов лишь постоянную решетки  $a$ . Раскладывая экспоненту в уравнении (42) по градиентному члену, можно получать конструктивные разложения (52) по отрицательным степеням  $g$ .

<sup>8)</sup> Для полного доказательства перенормируемости нужно исследовать вопрос о возможности исключения из результатов типа (52) информации о конкретном виде интегралов перекрытия  $J_x$ . Заметим, что в классических теоремах о перенормируемости [9, 22] независимость от  $\Lambda$  доказывается не для самих величин (в сильном смысле), а для их коэффициентов разложения по  $g$  (в слабом смысле). Сильное и слабое утверждение эквивалентны, если существует однозначная процедура суммирования расходящихся рядов, что, на наш взгляд, имеет место [23]. Однако при установлении этой процедуры приходится исследовать аналитические свойства борлевских образов и, в частности, доказывать отсутствие [24] ренормальных сингулярностей [25, 26], что требует перенормируемости именно в сильном смысле (см. комментарии в конце работы [27]). Эквивалентность сильного и слабого утверждений, по-видимому, решает проблему зависимости от  $J_x$ , поскольку такая зависимость отсутствует в коэффициентах разложения.

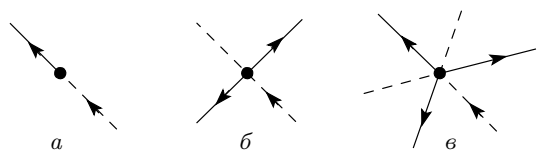


Рис. 3. Прохождение регулярной точки  $t_0$  при условиях  $f'(t_0) \neq 0$  (a),  $f'(t_0) = 0, f''(t_0) \neq 0$  (b),  $f'(t_0) = 0, f''(t_0) = 0, f'''(t_0) \neq 0$  (c). Сплошные линии — направления возрастания  $f(t)$ , штриховые — направления убывания

## 5. ТОПОЛОГИЯ ТРАЕКТОРИЙ В ПЛОСКОСТИ $t$

Поскольку результаты (48) и (13) различаются в отношении функций  $\eta(g)$  и  $\eta_2(g)$ , то представляет интерес выяснить условия их реализации. Для этого требуется более детальный анализ параметрического представления (1).

Будем считать, что бегущий параметр  $t$  движется по некоторой непрерывной траектории в комплексной плоскости, вдоль которой соотношение  $g = f(t)$  обеспечивает действительность перенормированного заряда  $g$  и его монотонное возрастание. Пусть  $t_0$  — некоторая точка траектории. Если  $f'(t_0) \neq 0$ , то существует ровно одно направление прохода точки  $t_0$ , вдоль которого  $g$  остается действительным (рис. 3a): если траектория каким-то образом пришла в точку  $t_0$ , то она проходит ее без изменения направления. Если  $f'(t_0) = 0$ ,  $f''(t_0) \neq 0$ , то действительность  $g$  имеет место вдоль двух взаимно перпендикулярных прямых: есть два направления возрастания и два направления убывания  $f(t)$  (рис. 3b). Поэтому траектория, пришедшая в точку  $t_0$ , должна повернуть под углом  $\pm 90^\circ$ . Если  $f'(t_0) = 0, f''(t_0) = 0, f'''(t_0) \neq 0$ , то имеются три направления роста и три направления убывания  $f(t)$ : траектория, пришедшая в точку  $t_0$ , может продолжаться в том же направлении или повернуть под углом  $\pm 120^\circ$  (рис. 3c) и т. д. Легко видеть, что в регулярной для функции  $f(t)$  точке траектория не может закончиться — всегда есть направление для ее продолжения. Она может закончиться лишь в сингулярной точке  $t_c$  (конечной или бесконечной), при приближении к которой  $g$  неограниченно возрастает, оставаясь действительным.

Как ясно из формулы (9), конечные сингулярные точки  $t_c$  связаны с нулями интегралов  $K_2$  и  $\tilde{K}_2$ . Согласно [1], для каждого функционального интеграла существует бесконечное количество нулей, расположенных вдоль лучей  $\arg t = \pm 3\pi/4$  и сгущающихся

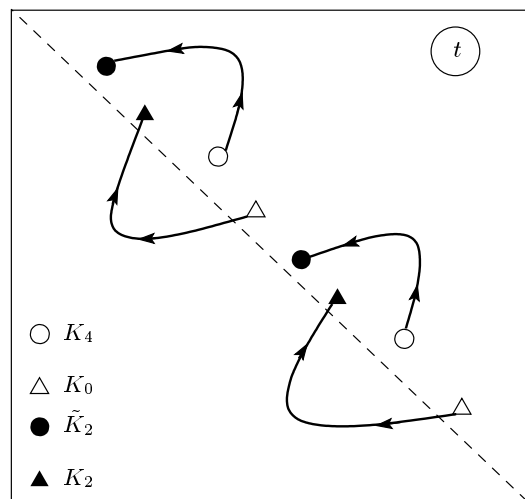


Рис. 4. Фрагмент комплексной плоскости  $t$  вдоль луча  $\arg t = \pm 3\pi/4$ . Траектории начинаются в нулях интегралов  $K_0$  или  $K_4$  и заканчиваются в нулях  $K_2$  и  $\tilde{K}_2$

на бесконечности. Изменению  $g$  от 0 до  $\infty$  соответствует бесконечное множество траекторий, начинающихся в нулях  $K_0$  или  $K_4$  и заканчивающихся в нулях  $K_2$  или  $\tilde{K}_2$  (рис. 4). На небольших отрезках лучей  $\arg t = \pm 3\pi/4$  корни интегралов расположены квазипериодически и естественно ожидать, что все они замыкаются друг на друга; «некомпенсированными» могут оказаться лишь несколько корней в области  $|t| \sim 1$ , которые могут быть топологически связанными с траекториями, идущими вдоль действительной оси.

Несколько слов о возможности ухода траектории на бесконечность. На примере нуль-мерного случая можно проследить [1], что при  $t = \rho e^{i\chi}$  рост  $\rho$  приводит к убыванию  $g$  до нуля при  $\chi < 3\pi/4$  и выходу на постоянное значение при  $\chi > 3\pi/4$ ; аналогичная ситуация ожидается в общем случае. При  $d = 0$  траектория уходит на бесконечность вдоль отрицательной полусоси, но затем возвращается в конечную часть комплексной плоскости, т. е. точка  $t = \infty$  «проходится», но траектория в ней не заканчивается. Окончание же траектории в бесконечной точке (при подходе по другому направлению) представляется маловероятным: для неограниченного роста  $g$  траектория должна уходить на бесконечность, постепенно приближаясь к одному из лучей  $\chi = \pm 3\pi/4$ ; при этом она должна пройти мимо бесконечного множества особых точек и не свернуть ни в одну из них.

Основной интерес представляет траектория, которая начинается при  $t = +\infty$  и идет вдоль

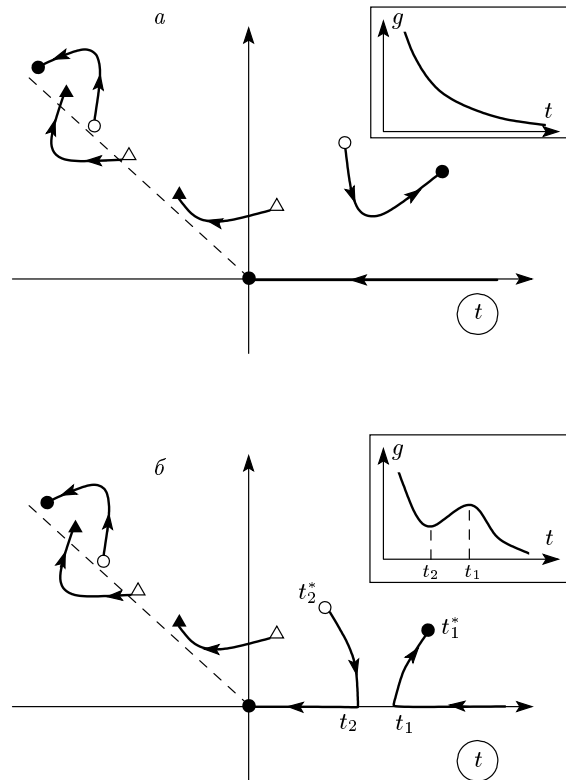


Рис. 5. Топология траекторий в плоскости  $t$  для случаев, когда зависимость  $g = f(t)$  на действительной оси монотонна (а) и немонотонна (б)

действительной оси. При  $t \gg 1$  имеем очевидно  $g \propto g_0 = 1/t^2$ , тогда как при  $t \ll 1$  возникает зависимость  $g \propto t^{-d/2}$ , обсуждавшаяся в разд. 3. При промежуточных  $t$  возможны два основных сценария.

а) Если зависимость  $g = f(t)$  на действительной оси строго монотонна, то  $f'(t) \neq 0$  и траектория не может повернуть в комплексную плоскость: она продолжается до  $t = 0$ , тогда как все корни функциональных интегралов при комплексных  $t$  замыкаются друг на друга (рис. 5а).

б) Если зависимость  $g = f(t)$  немонотонна на действительной оси, то в простейшем случае имеется точка максимума  $t_1$  и точка минимума  $t_2$  (рис. 5б). Тогда траектория, пришедшая из  $t = +\infty$  в  $t = t_1$ , должна повернуть (согласно рис. 3б) в точке  $t = t_1$  под прямым углом в верхнюю (или нижнюю) полуплоскость и закончиться в одной из особых точек  $t_1^*$ . Аналогично, траектория, идущая вдоль действительной оси в точку  $t = 0$ , должна выходить на действительную ось в точке  $t_2$ , а начинаться в некоторой комплексной точке  $t_2^*$ .

При плавном переходе от случая (а) к случаю (б) происходит перезамыкание траекторий (ср. рис. 5а

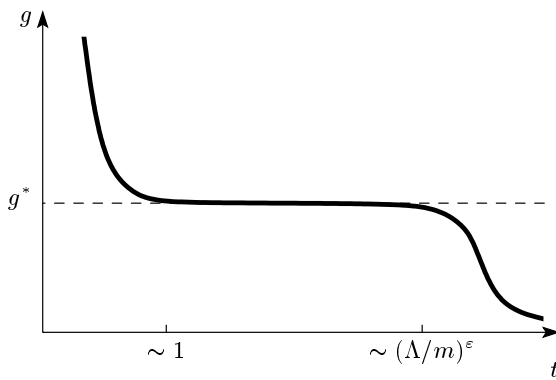
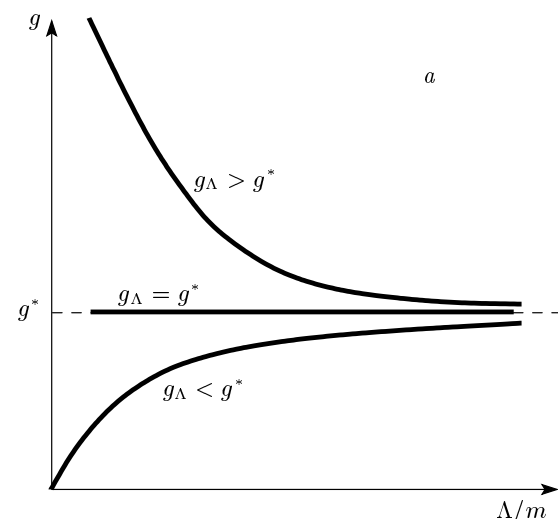


Рис. 6. Фактическая зависимость  $g = f(t)$  на действительной оси близка к маргинальной



и рис. 5б), а в маргинальном случае  $t_1 = t_2$  (соответствующем точке перегиба) — их разветвление в соответствии с рис. 3в. Фактическая ситуация (разд. 6) близка к маргинальной: зависимость  $g = f(t)$  имеет плато от  $t \sim 1$  до  $t \sim (\Lambda/m)^\epsilon$  (рис. 6). Естественно ожидать, что изменением решеточного действия (14) она может «опрокидываться» как к случаю (а), так и к случаю (б). Поэтому уход траектории в комплексную плоскость (с реализацией результатов (13)) или ее сохранение на действительной оси (с реализацией (48)) определяется способом регуляризации функциональных интегралов.

## 6. ИНФОРМАЦИЯ ИЗ УРАВНЕНИЯ ГЕЛЛ-МАННА – ЛОУ

Уравнение Гелл-Манна–Лоу позволяет проанализировать связь перенормированного заряда  $g$ , относящегося к масштабу  $m$ , с его значением  $g_\Lambda$  на масштабе  $\Lambda$ ; последнее прямо связано с затравочным зарядом  $g_0$ , но не совпадает с ним (см. ниже); соответствие  $g_\Lambda \approx g_0$  имеет место только в области слабой связи.

1. Для  $d = 4 - \epsilon$  с малым  $\epsilon$  уравнение Гелл-Манна–Лоу в области  $g \lesssim 1$  может быть записано в виде

$$\frac{dg}{d \ln m} = \beta(g) = -\epsilon g + \beta_2 g^2 \quad (53)$$

и имеет неподвижную точку  $g^* = \epsilon/\beta_2$ . Интегрируя (53) с начальным условием  $g = g_\Lambda$  при  $m = \Lambda$ , имеем

$$g = \frac{g_\Lambda (\Lambda/m)^\epsilon}{1 + \beta_2 g_\Lambda [(\Lambda/m)^\epsilon - 1]/\epsilon}, \quad g, g_\Lambda \lesssim 1. \quad (54)$$

В области слабой связи  $g_\Lambda \approx g_0$  и при  $\epsilon \rightarrow 0$  получается известный результат [29]

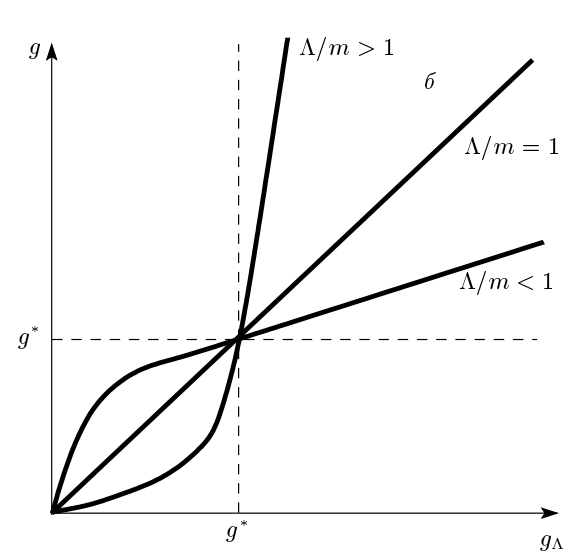


Рис. 7. Зависимости  $g$  от  $\Lambda/m$  при различных  $g_\Lambda$  (а) и зависимости  $g$  от  $g_\Lambda$  при различных  $\Lambda/m$  (б)

$$g = \frac{g_0}{1 + \beta_2 g_0 \ln(\Lambda/m)}. \quad (55)$$

С точки зрения уравнения (53) масштабы  $m$  и  $\Lambda$  находятся в произвольном соотношении. Зависимость  $g$  от  $\Lambda/m$  является возрастающей при  $g_\Lambda < g^*$  и убывающей при  $g_\Lambda > g^*$ , выходя на постоянный предел  $g^*$  при  $\Lambda/m \rightarrow \infty$  (рис. 7а). Зависимости  $g$  от  $g_\Lambda$  показаны на рис. 7б; если принять дополнительно для больших  $g$

$$\beta(g) = \beta_\infty g, \quad g \gg 1, \quad (56)$$

так что

$$g = \left(\frac{m}{\Lambda}\right)^{\beta_\infty} g_\Lambda, \quad g, g_\Lambda \gtrsim 1, \quad (57)$$

то становится ясно, что эти зависимости являются

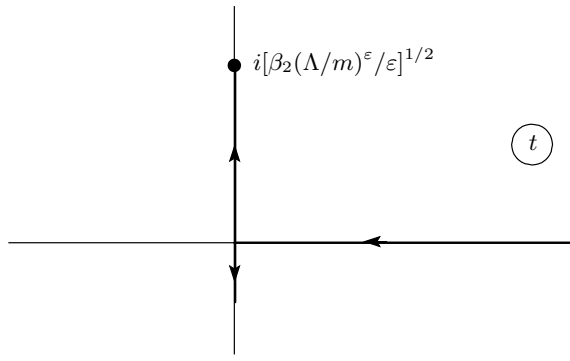


Рис. 8. Топология траектории в плоскости  $t$  для  $d = 4 - \epsilon$  с малым  $\epsilon$  согласно (59)

монотонными<sup>9)</sup> и не обладают никакими патологиями.

Однако, если считать  $\Lambda/m$  большим и пренебречь единицей в квадратной скобке (54)

$$g = \frac{g_0 (\Lambda/m)^\epsilon}{1 + \beta_2 g_0 (\Lambda/m)^\epsilon / \epsilon}, \quad (58)$$

то ситуация меняется и большие значения  $g$  становятся недостижимыми при действительных  $g_0$ ; полагая  $g_0 = 1/t^2$ , получим параметрическое представление (1) в виде

$$\begin{aligned} g &= \frac{(\Lambda/m)^\epsilon}{t^2 + \beta_2 (\Lambda/m)^\epsilon / \epsilon}, \\ \beta(g) &= \frac{-\epsilon t^2 (\Lambda/m)^\epsilon}{[t^2 + \beta_2 (\Lambda/m)^\epsilon / \epsilon]^2}, \end{aligned} \quad (59)$$

где траектория в плоскости  $t$  поворачивает при  $t = 0$  под прямым углом и заканчивается в полюсе Ландау  $i[\beta_2(\Lambda/m)^\epsilon/\epsilon]$  (рис. 8). Мы видим, что поворот траектории в комплексную плоскость не содержит в себе ничего необычного и легко возникает в результате естественных приближений; заметим, что этот поворот не сопровождается никакими особенностями  $\beta$ -функции. Конечно, уравнения (59) справедливы лишь при  $g, g_0 \lesssim 1$ , и нельзя быть уверенным ни в точке поворота  $t = 0$  (где  $g_0 \rightarrow \infty$ ), ни в положении полюса (где  $g \rightarrow \infty$ ).

Согласно (58),  $g$  имеет регулярное разложение по параметру  $g_0(\Lambda/m)^\epsilon$ , как это имеет место в диаграммных вычислениях (см. ниже) и как функция  $g_0$  меняется на масштабе  $\sim (m/\Lambda)^\epsilon \ll 1$ , при превышении которого она выходит на константу  $g^*$ .

<sup>9)</sup> В общем случае это ясно из рис. 7а, где кривые, соответствующие различным  $g_\Lambda$ , не пересекаются при конечных  $\Lambda/m$ .

Возникает плато, которое сохраняется до масштаба  $g_0 \sim 1$ , когда возникают отличия  $g_0$  от  $g_\Lambda$  (см. ниже (61)), становится существенным отличие  $\beta$ -функции от (53) и меняется режим перенормировки массы (см. (35)); в результате происходит переход к режиму сильной связи, обсуждавшемуся в разд. 3, 4.

2. В рамках диаграммной техники разложение  $g$  по  $g_0$  имеет следующую структуру<sup>10)</sup>:

$$g = \sum_{N=1}^{\infty} [g_0 (\Lambda/m)^\epsilon]^N \sum_{K=0}^{N-1} A_N^K \times \times \left[ \frac{1 - (\Lambda/m)^{-\epsilon}}{\epsilon} \right]^K, \quad A_1^0 = 1. \quad (60)$$

Полагая  $m = \Lambda$ , получим связь  $g_\Lambda$  с  $g_0$ ,

$$g_\Lambda = g_0 + \sum_{N=2}^{\infty} A_N^0 g_0^N \equiv h(g_0), \quad (61)$$

так что соответствие  $g_\Lambda \approx g_0$  верно только при малых  $g_0$ . Если зависимости  $g$  от  $g_\Lambda$  являются монотонными (рис. 7б), то характер зависимостей  $g$  от  $g_0$  определяется функцией  $h(g_0)$ . Если при росте  $g_0$  функция  $h(g_0)$  монотонно меняется от нуля до бесконечности, то реализуется случай рис. 5а и траектория  $t$  остается на действительной оси. При немонотонной функции  $h(g_0)$  реализуется случай рис. 5б и траектории поворачивают в комплексную плоскость. Если  $h(g_0)$  конечна при  $g_0 \rightarrow \infty$ , то особенность при  $t = 0$  исчезает и большие  $g$  достигаются только при комплексных  $t$ . Функция  $h(g_0)$  определяется коэффициентами  $A_N^0$ , которые можно изменять, меняя решетку или иной способ регуляризации.

Обычно в диаграммных вычислениях при  $d < 4$  верхний предел интегрирования по импульсу считают бесконечным, что устраняет  $(\Lambda/m)^{-\epsilon}$  в квадратной скобке (60). Возникает разложение

$$\begin{aligned} g &= \sum_{N=1}^{\infty} B_N [g_0 (\Lambda/m)^\epsilon]^N, \\ B_N &= \sum_{K=0}^{N-1} A_N^K \epsilon^{-K}, \end{aligned} \quad (62)$$

<sup>10)</sup> В  $N$ -петлевом приближении имеется интегрирование по  $N$  импульсам, каждое из которых дает множитель  $k^{-\epsilon}$ , сводящийся к  $\Lambda^{-\epsilon}$  и  $m^{-\epsilon}$  при оценке на верхнем и нижнем пределах. Поэтому  $N$ -петлевой вклад содержит множитель  $u_0^{N+1}$ , умноженный на однородный полином  $N$ -й степени, составленный из  $\Lambda^{-\epsilon}$  и  $m^{-\epsilon}$ . Результат (60) получается после учета соотношения  $u_0 = g_0 \Lambda^\epsilon$ , надлежащей группировке членов и выделения из коэффициентов степеней  $\epsilon$  для соответствия при  $\epsilon \rightarrow 0$  обычному логарифмическому разложению.

и связь  $g_\Lambda$  с  $g_0$

$$g_\Lambda = \sum_{N=1}^{\infty} B_N g_0^N, \quad B_1 = 1, \quad (63)$$

оказывается отличной от (61). Это отличие имеет особенно яркий характер при малых  $\epsilon$ : если согласно уравнению (61) (не содержащему  $\epsilon$ ) соотношение  $g_\Lambda \approx g_0$  верно до масштаба  $g_0 \sim 1$ , то уравнению (63) соответствует результат  $g_\Lambda = g_0/(1 + g_0/g^*)$  (следующий из (58)) и зависимость насыщается при  $g_0 \sim \epsilon$ . Подчеркнем, что при переходе от формулы (61) к уравнению (63) мы не произвели ничего серьезного: при  $d < 4$  (после перенормировки массы) интегралы сходятся на больших импульсах и физически несущественно, считается ли верхний предел интегрирования бесконечным или большим, но конечным. Тем не менее связь перенормированного заряда с затравочным испытывает катастрофические изменения. Конечно, это не означает таких же изменений в наблюдаемых величинах, а лишь указывает на возможность двух способов описания.

а) При первом способе описания, соответствующем выражению (62) и возможном только при  $d < 4$ , предел  $\Lambda \rightarrow \infty$  берется на раннем этапе и ряды теории возмущений по  $g$  строятся в виде, не содержащем информации об обрезании. Эти ряды имеют действительные коэффициенты и при обычных способах суммирования [23] дают действительные значения наблюдаемых. Результаты, не зависящие от обрезания, не могут гладко сшиться с решеточными разложениями разд. 3, 4, и уход траектории  $t$  в комплексную плоскость является совершенно понятным.

б) При втором способе описания, соответствующем выражению (60) и единственному возможному при  $d = 4$  (т. е. в актуальной теории поля)<sup>11)</sup>, предполагается явный способ регуляризации. При этом ренормгрупповые функции, функции Грина и пр. в результате перенормировок имеют конечный предел при  $\Lambda \rightarrow \infty$ , но сохраняют зависимость от способа обрезания (поскольку от него зависит определение заряда), исчезновение которой ожидается лишь в наблюдаемых величинах. При этом способе описания сохранение траектории  $t$  на действительной оси представляется возможным хотя бы для некоторых регуляризаций.

<sup>11)</sup> Фактически он более естествен и в физике конденсированного состояния, где обрезание заведомо существует, а континуальный предел возможен лишь тогда, когда это не приводит к патологиям.

Пример малых  $\epsilon$  наглядно показывает, что комплексность затравочного заряда  $g_0$  не связана ни с какими патологиями и не имеет физического смысла.

3. В рамках разложения (62) связь  $g$  и  $g_0$  полностью определяется  $\beta$ -функцией и может быть проанализирована в общем виде. Интегрируя уравнение Гелл-Манна–Лоу

$$\exp\{-\epsilon F(g)\} = \left(\frac{\Lambda}{m}\right)^\epsilon \exp\{-\epsilon F(g_\Lambda)\},$$

$$F(g) = \int \frac{dg}{\beta(g)} \quad (64)$$

и полагая

$$\beta(g) = \begin{cases} -\epsilon g, & g \rightarrow 0, \\ \omega(g - g^*), & g \rightarrow g^*, \end{cases} \quad (65)$$

легко убедиться, что левая часть (64) регулярна по  $g$  и при малых  $g$  имеем  $g \approx (\Lambda/m)^\epsilon g_\Lambda \approx (\Lambda/m)^\epsilon g_0$ . Если определить связь  $g_\Lambda$  и  $g_0$  так, что

$$\exp\{-\epsilon F(g)\} = (\Lambda/m)^\epsilon g_0,$$

$$g_0 = \exp\{-\epsilon F(g_\Lambda)\}, \quad (66)$$

то  $g$  окажется регулярной функцией параметра  $g_0(\Lambda/m)^\epsilon$ , как это требуется разложением (62). При  $g \rightarrow g^*$  получим из уравнения (66)

$$g^* - g = \left(\frac{\Lambda}{m}\right)^{-\omega} g_0^{-\omega/\epsilon} = \left(\frac{\Lambda}{m}\right)^{-\omega} t^{2\omega/\epsilon} \quad (67)$$

и поворот в комплексную плоскость происходит в точке  $t = 0$  под углом

$$\chi = \frac{\pi}{2} \frac{\epsilon}{\omega}, \quad (68)$$

так что комплексные  $t$  соответствуют существенно комплексным (а не просто отрицательным) значениям  $g_0$ . При этом вся картина оказывается качественно такой же, как в случае малых  $\epsilon$ : в частности, зависимости  $g$  от  $g_0$  и  $\Lambda/m$  одинаковы и соответствуют нижней кривой рис. 7а: она имеет постоянный предел  $g^*$  при  $g_0 \rightarrow \infty$ , что обычно и считается пределом сильной связи теории  $\varphi^4$  [30].

Таким образом, в ренормировочной схеме, общепринятой в теории фазовых переходов [12] и соответствующей разложению (62), поворот в комплексную плоскость является неизбежным, а особенность при  $t = 0$  вообще отсутствует. Противоречия с разд. 3 в этом нет, так как определение затравочного заряда в этой схеме (см. (63)) заведомо отлично от того, которое используется в решеточной версии функциональных интегралов (см. (61)).

## 7. СИТУАЦИЯ С АНОМАЛЬНЫМИ РАЗМЕРНОСТЯМИ

Согласно разд. 6, поворот траектории  $t$  в комплексную плоскость или ее сохранение на действительной оси определяются ренормировочной схемой, т. е. связан со способом описания, не имеющим физического смысла. Результаты для асимптотики  $\beta(g)$  подтверждают эту точку зрения: они одинаковы для сингулярности при  $t = 0$  и сингулярности в комплексной точке  $t_c$  (ср. (48) и (13)). Для функций  $\eta(g)$  и  $\eta_2(g)$  результаты (48) и (13) различны; однако фактически аномальные размерности имеют физический смысл лишь вблизи неподвижной точки ренормгруппы  $g^*$ , тогда как вдали от нее являются техническими конструкциями, имеющими смысл лишь в конкретной схеме. Действительно,  $\eta(g)$  и  $\eta_2(g)$  определяются  $Z$ -факторами, которые по определению не имеют физического смысла, так как не входят в наблюдаемые величины. Лишь благодаря особой ситуации вблизи критической точки сингулярное поведение  $Z$ -факторов проявляется в наблюдаемых величинах. Поясним это на примере функции  $\eta(g)$ .

Как известно из теории фазовых переходов, вершина  $\Gamma_R^{(0,2)}$  (обратный перенормированный пропагатор) при  $m^2 > 0$  имеет регулярное разложение при малых  $p$  и сингулярное поведение при больших

$$\begin{aligned} \Gamma_R^{(0,2)}(p) &= \\ &= \begin{cases} m^2 + p^2 + \alpha_1 p^4 + \alpha_2 p^6 + \dots, & p \lesssim \xi^{-1}, \\ \sim p^{2-\eta}, & p \gtrsim \xi^{-1}. \end{cases} \end{aligned} \quad (69)$$

Регулярное разложение удовлетворяет уравнениям ренормгруппы при произвольных коэффициентах  $\alpha_1, \alpha_2, \dots$ , так что в принципе можно положить  $\alpha_1 = \alpha_2 = \dots = 0$  и выбрать регулярное решение  $m^2 + p^2$  при произвольных  $p$ . Результат  $\Gamma_R^{(0,2)}(p) \sim p^{2-\eta}$  является единственным решением только при  $m^2 = 0$  (в точке перехода), а его справедливость для  $p \gtrsim \xi^{-1}$  при конечных  $m^2$  требует дополнительной аргументации: он не противоречит регулярному разложению, если коэффициенты  $\alpha_1, \alpha_2, \dots$  выбраны надлежащим образом и обеспечивают асимптотику  $p^{2-\eta}$  при больших  $p$ . В рассматриваемом случае значение  $\eta$  при одном способе описания равно нулю и указывает на реализацию регулярного решения  $m^2 + p^2$  при произвольных  $p$ . Но такое решение допустимо всегда и не противоречит значению  $\eta = 2$ , полученному при другом способе описания. Заметим, что инстанционные вычисления Полякова [31] (см. также [32]) могут быть интерпре-

тированы [21] как решение одномерной теории  $\varphi^4$  в пределе  $g_0 \rightarrow \infty$ ; полученный результат для парного коррелятора

$$G_2(x, y) = A \exp(-m|x - y|)$$

как раз соответствует  $\Gamma_R^{(0,2)}(p) = m^2 + p^2$  в импульсном представлении.

Проведем рассуждения более формально, исходя из уравнения Каллана–Симанчика<sup>12)</sup>

$$\left[ \frac{\partial}{\partial \ln \mu} + \beta(g) \frac{\partial}{\partial g} + \gamma_m(g) \frac{\partial}{\partial \ln \tau} - \eta(g) \right] \tilde{\Gamma}_R^{(0,2)} = 0, \quad (70)$$

где  $\mu$  — произвольный масштаб импульса,  $\tau \propto \delta m_0^2$  — расстояние до перехода, и  $\gamma_m(g) = 2 - \nu^{-1}(g) = \eta(g) - \eta_2(g)$ . Его общее решение при конечных  $p$  и  $\tau$  можно записать в виде

$$\begin{aligned} \tilde{\Gamma}_R^{(0,2)}(p, \tau) &= \mu^2 \exp \left\{ \int dg \frac{\eta(g) - 2}{\beta(g)} \right\} \times \\ &\times F \left( \frac{p}{\mu} \exp \int \frac{dg}{\beta(g)}, \frac{\tau}{\mu^2} \exp \int \frac{dg}{\nu(g)\beta(g)} \right), \end{aligned} \quad (71)$$

где  $F(x, y)$  — произвольная функция. Считая, что  $\eta(g)$  и  $\nu(g)$  постоянны в интересующем нас интервале значений  $g$ , имеем

$$\begin{aligned} \tilde{\Gamma}_R^{(0,2)}(p, \tau) &= \mu^2 A(g)^{\eta-2} \times \\ &\times F \left( \frac{p}{\mu} A(g), \frac{\tau}{\mu^2} A(g)^{1/\nu} \right), \end{aligned} \quad (72)$$

где  $A(g)$  с учетом (65), (56) имеет вид

$$\begin{aligned} A(g) &= \exp \int \frac{dg}{\beta(g)} = \\ &= \begin{cases} \sim g^{-1/\epsilon}, & g \rightarrow 0, \\ \sim (g - g^*)^{1/\omega}, & g \rightarrow g^*, \\ \sim g^{1/\beta_\infty}, & g \rightarrow \infty. \end{cases} \end{aligned} \quad (73)$$

Для получения конечного решения в любом из трех пределов (когда  $A(g)$  стремится к нулю или к бесконечности) его нужно конструировать так, чтобы зависимость от  $A(g)$  исчезала. Для  $p = 0$  или  $\tau = 0$

<sup>12)</sup> В исходной ренормировочной схеме, соответствующей (7), (8), уравнение Каллана–Симанчика имеет правую часть (см. [20, Sec. VI.A]) и неудобно для исследования. Мы имеем целью продемонстрировать лишь принципиальную возможность эквивалентности ситуаций  $\eta = 0$  и  $\eta = 2$ , и пользуемся более удобной схемой [20, Sec. VI.C], отмечая тильдой другой способ ренормировки  $\Gamma^{(0,2)}$ .

имеем соответственно  $F(0, y) \sim y^\alpha$  и  $F(x, 0) \sim x^\beta$  с  $\alpha = \nu(2 - \eta)$  и  $\beta = 2 - \eta$ , что дает известные результаты

$$\tilde{\Gamma}_R^{(0,2)}(0, \tau) \sim \tau^{\nu(2-\eta)}, \quad \tilde{\Gamma}_R^{(0,2)}(p, 0) \sim p^{2-\eta}. \quad (74)$$

В общем случае можно принять  $F(x, y) \sim x^\beta y^\alpha$  с  $\beta = \nu(2 - \eta - \alpha)$ , так что

$$\tilde{\Gamma}_R^{(0,2)}(p, \tau) \sim \mu^2 \left( \frac{\tau}{\mu^2} \right)^{\nu(2-\eta)} \left( \frac{p\tau^{-\nu}}{\mu^{1-2\nu}} \right)^\alpha \quad (75)$$

является решением при произвольном  $\alpha$ . В общем случае решение может иметь вид суперпозиции функций вида (75); в частности, для регулярного разложения по  $p^2$

$$\begin{aligned} \tilde{\Gamma}_R^{(0,2)}(p, \tau) &= \mu^2 \left( \frac{\tau}{\mu^2} \right)^{\nu(2-\eta)} \sum_{s=0}^{\infty} A_s \left( \frac{p\tau^{-\nu}}{\mu^{1-2\nu}} \right)^{2s} = \\ &= A_0 \mu^2 \left( \frac{\tau}{\mu^2} \right)^{\nu(2-\eta)} + A_1 p^2 \left( \frac{\tau}{\mu^2} \right)^{-\nu\eta} + \\ &\quad + A_2 \frac{p^4}{\mu^2} \left( \frac{\tau}{\mu^2} \right)^{-2\nu-\nu\eta} + \dots \end{aligned} \quad (76)$$

Полагая  $\tilde{Z} = (\tau/\mu^2)^{\nu\eta}$ ,  $m^2 = \mu^2(\tau/\mu^2)^{2\nu}$ ,  $A_0 = A_1 = 1$ , имеем

$$\tilde{\Gamma}_R^{(0,2)}(p, \tau) = \tilde{Z}^{-1} \left( m^2 + p^2 + A_2 \frac{p^4}{m^2} + \dots \right), \quad (77)$$

т. е. регулярное решение возможно при произвольном значении  $\eta$ , как и указывалось выше. Таким образом, пределы  $\eta \rightarrow 0$  и  $\eta \rightarrow 2$  действительно могут соответствовать одной и той же физической ситуации.

Результаты для нулевых импульсов типа  $m^2 \sim \tau^{2\nu}$  и  $\tilde{\Gamma}_R^{(0,2)}(0, \tau) \sim \tau^{\nu(2-\eta)}$  являются конструктивными лишь вблизи критической точки, когда соотношения наблюдаемых величин с зарядами ренормгруппы могут быть линеаризованы и расстояние до перехода  $\tau$  определяется линейным отклонением управляющего параметра от критического значения. Вдали от точки перехода такие соотношения не несут существенной информации, так как расстояние до перехода может определяться разными способами.

## 8. ЗАКЛЮЧИТЕЛЬНЫЕ ЗАМЕЧАНИЯ

Основной аргумент против комплексных затравочных параметров основан на представлении

$S$ -матрицы через дайсоновскую  $T$ -экспоненту, согласно которому эрмитовость затравочного гамильтониана является необходимой для унитарности теории.

Фактически, ситуация является более сложной, что ясно из аксиоматической конструкции  $S$ -матрицы, предложенной Боголюбовым [9]: согласно ей, наиболее общий вид  $S$ -матрицы dается  $T$ -экспонентой от  $i\mathcal{A}$ , где  $\mathcal{A}$  является суммой (а) затравочного действия, и (б) последовательности «постоянных интегрирования», определяемых квазилокальными операторами. В регуляризованной теории «постоянные интегрирования» можно положить равными нулю и вернуться к дайсоновской форме  $S$ -матрицы. Однако в процессе перенормировки эти постоянные считаются отличными от нуля и выбираются из условия отсутствия расходимостей; затем эти постоянные включаются в действие за счет изменения его параметров. Поэтому для истинно континуальной теории  $S$ -матрица определяется перенормированным действием, тогда как затравочный гамильтониан и уравнение Шредингера являются плохо определенными; с этой точки зрения, комплексность затравочных параметров не имеет никакого значения.

Некоторые вопросы остаются в отношении регуляризованной теории, когда и затравочный, и перенормированный лагранжианы имеют смысл, и в отношении унитарности теории возможны противоречивые суждения. Аналогичная ситуация обсуждалась в связи с точно решаемой моделью Ли [3], для которой<sup>13)</sup>

$$g^2 = \frac{g_0^2}{1 + g_0^2/g_c^2} \quad (78)$$

и затравочный заряд  $g_0$  является комплексным для больших значений перенормированного заряда  $g$  (рис. 9). Согласно работе [4], модель Ли физически неудовлетворительна для  $g > g_c$  из-за наличия состояний с отрицательной нормой («ghost states»); но недавно выяснено [5, 6], что проблема «духов» вполне решаема и модель Ли является приемлемой физической теорией. Основная идея работы [5] состоит в том, что аналитическое продолжение параметров гамильтониана в комплексную плоскость должно сопровождаться модификацией скалярного произведения для соответствующего гильбертова пространства,

$$(f, g) = \int f^*(x)g(x)dx \rightarrow (f, g)_G = (f, \hat{G}g), \quad (79)$$

<sup>13)</sup> Ср. с формулой Ландау, Абрикосова, Халатникова для квантовой электродинамики [29].

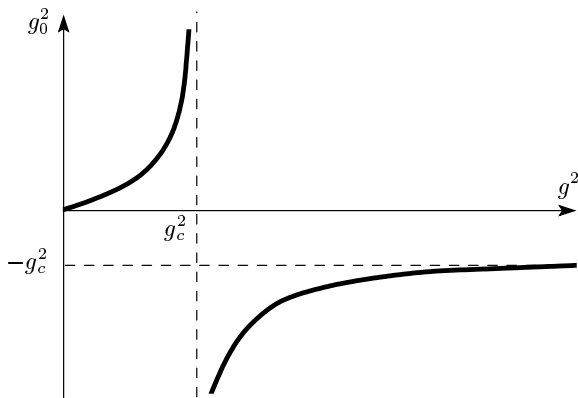


Рис. 9. Связь перенормированного заряда с затравочным в модели Ли

и при надлежащем выборе оператора  $\hat{G}$  затравочный гамильтониан оказывается эрмитовым относительно нового скалярного произведения. В результате все состояния модели Ли имеют положительную норму, а  $S$ -матрица является унитарной. Аналогичная процедура должна существовать в общем случае для устранения указанного противоречия.

Фактически определение заряда неоднозначно из-за неоднозначности ренормировочной схемы [11], связанной с произвольностью «постоянных интегрирования» в богоявленской конструкции; поэтому комплексность  $g_0$  имеет относительный смысл. Сингулярности параметрического представления (1) при  $t = 0$  и в комплексной точке  $t_c$  могут переводиться одна в другую путем переопределения затравочного заряда  $g_0$ . По этой причине результат настоящей работы для  $\beta$ -функции совпадает с тем, который получен в [1] из совершенно других соображений.

Заметим, что полученный результат для асимптотики  $\beta$ -функции имеет простой смысл. Используя (9), (39), можно записать

$$g = -m^d \frac{K_4 K_0}{\tilde{K}_2^2}, \quad m^2 = \frac{K_2}{\tilde{K}_2}. \quad (80)$$

Для зависимости  $g \propto m^d$  результат  $\beta(g) = dg$  trivialно следует из определения (8) для  $\beta$ -функции. Его справедливость в асимптотической области обеспечена при выполнении следующих условий: (а) предел  $m \rightarrow \infty$  может быть реализован при постоянном значении дроби  $K_4 K_0 / \tilde{K}_2^2$ , и (б) этот предел возможен за счет изменения только  $m_0$  (при постоянных  $g_0$  и  $\Lambda$ ). Эти условия легко выполняются вблизи корня  $\tilde{K}_2$  в комплексной плоскости. Для особенности при  $t = 0$  указанные условия буквально не выполнены, но справедливы в ослабленной форме: за счет

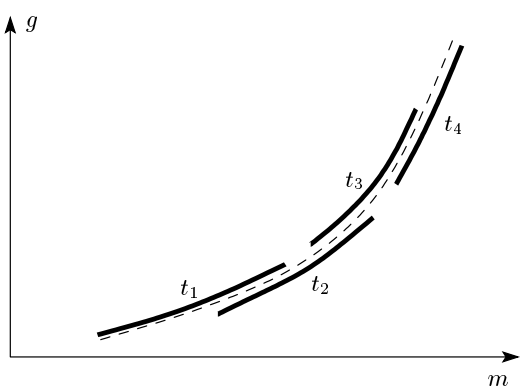


Рис. 10. Для особенности в точке  $t = 0$  зависимость  $g \propto m^d$  можно «склеить из кусочков»

изменения  $m_0$  можно обеспечить изменение  $m$  при  $K_4 K_0 / \tilde{K}_2^2 = \text{const}$  в некотором широком интервале, тогда как путем изменения  $t$  этот интервал можно сдвигать в область все больших и больших значений (разд. 4). Поэтому выбрав некоторую убывающую последовательность  $t_1 > t_2 > t_3 \dots$ , зависимость  $g \propto m^d$  можно «склеить из кусочков» (рис. 10).

В отношении предложенной схемы возможны возражения, что функциональные интегралы используются в «нефизическом» режиме  $\xi \lesssim a$ . Однако (с консервативной точки зрения) можно вообще возражать против решеточной интерпретации функциональных интегралов, как и против любого другого способа регуляризации<sup>14)</sup>. Основным аргументом в пользу допустимости такого подхода является возможность устраниć из физических результатов все атрибуты затравочной теории; но это верно и в предлагаемой схеме, по крайней мере в отношении результатов (48). Затравочная теория является вспомогательной конструкцией и предъявлять к ней какие-то «физические» требования некорректно. С другой стороны, можно усилить условия (44) и перейти к пределу

$$t \rightarrow 0, \quad \kappa \rightarrow \infty, \quad t\kappa = \text{const}. \quad (81)$$

Тогда переход к выражению (42) не связан ни с какими приближениями, но оно сохраняет строгую эквивалентность теории  $\varphi^4$  при специальном выборе затравочных параметров: это обеспечивает сохранение формы лагранжиана в процессе перенормировок. При  $t\kappa \gg 1$  результат (42) удовлетворяет всем физическим требованиям и соответствует за-

<sup>14)</sup> Такие идеи возникают, например, в связи с концепцией ренормалонов [25, 26]: ренормалонные сингулярности обусловлены сколь угодно большими импульсами и устраняются при любой регуляризации.

ведомо правильной теории; при  $t\kappa \lesssim 1$  он является ее строгим аналитическим продолжением. Наконец, в физике конденсированного состояния решеточный гамильтониан является допустимым микроскопическим гамильтонианом и может использоваться в любом режиме. Поэтому результаты (48) заведомо справедливы в теории фазовых переходов.

Несколько слов о зависимости результатов от конфигурации интегралов перекрытия  $J_x$ . В принципе можно не стремиться к исключению  $J_x$  в общем виде, а выбрать их так, чтобы решеточный спектр  $\epsilon(p)$  максимально точно совпадал с квадратичным. Результат такой процедуры известен и соответствует приближению почти свободных электронов в теории твердого тела. При этом истинной теории поля будет соответствовать не континуальный предел  $a \rightarrow 0$ , а предел «пустой решетки».

В заключение заметим, что верхняя оценка для массы «хиггса», основанная на тривиальности теории  $\varphi^4$  [33] («triviality bound»), оказывается несостоятельной. При асимптотике  $\beta(g) \sim g$  полюс Ландау отсутствует и никаких внутренних ограничений на применимость Стандартной модели, подразумеваемых в этой оценке, на самом деле не существует.

## ЛИТЕРАТУРА

1. И. М. Суслов, ЖЭТФ **134**, 490 (2008).
2. И. М. Суслов, ЖЭТФ **135**, 1129 (2009).
3. T. D. Lee, Phys. Rev. **95**, 1329 (1954).
4. G. Källen and W. Pauli, Mat.-Fyz. Medd. **30**, № 7 (1955).
5. C. M. Bender, S. F. Brandt, J.-H. Chen, and Q. Wang, Phys. Rev. D **71**, 025014 (2005).
6. C. M. Bender, D. C. Brody, and H. F. Jones, Phys. Rev. Lett. **89**, 270401 (2002); C. M. Bender, Rep. Prog. Phys. **70**, 947 (2007).
7. S. S. Schweber, *An Introduction to Relativistic Quantum Field Theory*, Row, Peterson and Co., Evanston (1961), Ch. 12.
8. G. Barton, *Introduction to Advanced Field Theory*, John Wiley & Sons, New York (1963), Ch. 12.
9. Н. Н. Боголюбов, Д. В. Ширков, *Введение в теорию квантованных полей*, Наука, Москва (1976).
10. А. А. Погорелов, И. М. Суслов, ЖЭТФ **133**, 1277 (2008).
11. А. А. Владимиров, Д. В. Ширков, УФН **129**, 407 (1979).
12. G. A. Baker, Jr., B. G. Nickel, and D. I. Meiron, Phys. Rev. Lett. **36**, 1351 (1976); Phys. Rev. B **17**, 1365 (1978); J. C. Le Guillou and J. Zinn-Justin, Phys. Rev. Lett. **39**, 95 (1977); Phys. Rev. B **21**, 3976 (1980).
13. C. Domb, in *Phase Transitions and Critical Phenomena*, ed. by C. Domb and M. S. Green, Academic, New York (1974), Vol. 3.
14. C. M. Bender, F. Cooper, G. S. Guralnik, and D. H. Sharp, Phys. Rev. D **19**, 1865 (1979).
15. C. M. Bender, F. Cooper, G. S. Guralnik, R. Roskies, and D. H. Sharp, Phys. Rev. D **23**, 2976 (1981); **23**, 2999 (1981); **24**, 2683 (1981).
16. P. Castoldi and C. Schomblond, Nucl. Phys. B **139**, 269 (1978).
17. R. Benzi, G. Martinelli, and G. Parisi, Nucl. Phys. B **135**, 429 (1978).
18. M. Frasca, arXiv:0909.2428.
19. Ш. Ма, *Современная теория критических явлений*, Мир, Москва (1980).
20. E. Brezin, J. C. Le Guillou, and J. Zinn-Justin, in *Phase Transitions and Critical Phenomena*, ed. by C. Domb and M. S. Green, Academic, New York (1976), Vol. VI.
21. C. M. Bender and S. Boettcher, Phys. Rev. D **48**, 4919 (1993).
22. F. J. Dyson, Phys. Rev. **75**, 1736 (1949); G.'t Hooft, Nucl. Phys. B **35**, 167 (1971).
23. И. М. Суслов, ЖЭТФ **127**, 1350 (2005).
24. И. М. Суслов, ЖЭТФ **116**, 369 (1999).
25. G. 't Hooft, in: *The whys of Subnuclear Physics*, (Erice, 1977), ed. by A. Zichichi, Plenum Press, New York (1979).
26. M. Beneke, Phys. Rep. **317**, 1 (1999), Sec. 2.4.
27. И. М. Суслов, ЖЭТФ **126**, 542 (2004).
28. M. Moshe and J. Zinn-Justin, Phys. Rep. **385**, 69 (2003).
29. Л. Д. Ландау, А. А. Абрикосов, И. М. Халатников, ДАН СССР **95**, 497, 773, 1177 (1954).
30. H. Kleinert and V. Schulte-Frohlinde, *Critical Properties of  $\phi^4$  Theories*, World Scientific, Singapore (2001).
31. A. M. Polyakov, Nucl. Phys. B **120**, 429 (1977).
32. E. Gildener and A. Patrascioiu, Phys. Rev. D **16**, 423 (1977).
33. R. F. Dashen and H. Neuberger, Phys. Rev. Lett. **50**, 1897 (1983).